



INSTITUTO DE INGENIERÍA
MATEMÁTICA Y COMPUTACIONAL
PONTIFICIA UNIVERSIDAD CATÓLICA DE CHILE



PONTIFICIA
UNIVERSIDAD
CATÓLICA
DE CHILE

IMT3410: Métodos para ecuaciones diferenciales

Clase 16

Manuel A. Sánchez
2024.10.14

Aproximación problema de Poisson

Diferencias finitas con frontera curva, $d = 2$

Sea $\Omega \subseteq \mathbb{R}^2$ un dominio abierto, acotado, convexo y con frontera continua $\partial\Omega$. Definimos una malla o grilla sobre Ω , con tamaño de malla $h = h_x = h_y$. Consideramos la ecuación de diferencias en un nodo x_{ij} :

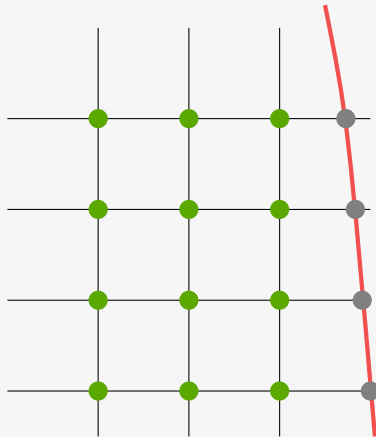
$$-\frac{u_{i-1,j} + u_{i+1,j} - 4u_{i,j} + u_{i,j-1} + u_{i,j+1}}{h^2} = f_{i,j}$$

Si el nodo $x_{i,j} \in \Omega$ es tal que los nodos asociados al stencil de diferencias finitas, $\{x_{i-1,j}, x_{i+1,j}, x_{i,j-1}, x_{i,j+1}\}$, también están en Ω , entonces podemos calcular **??**. Estos puntos son la malla Ω_h . Aquellos nodos que pertenecen al stencil pero no están en Ω_h son los puntos de frontera $\partial\Omega_h$ (ver figura). Si tenemos condición homogénea de Dirichlet, podemos resolver usando

$$u_{kl} = 0 \quad \forall x_{kl} \in \partial\Omega_h.$$

Esta aproximación a los valores de frontera causan un error de orden h .

Diferencias finitas con frontera curva, $d = 2$



Diferencias finitas con frontera curva, $d = 2$

Para construir valores de frontera más exactos, se puede utilizar interpolación lineal. Sean los puntos co-lineales $x_{i-1,j} \in \Omega_h$, $x_{i,j} \in \partial\Omega_h$, definimos $x_{\cdot,j} \in \partial\Omega$. Sea $\delta = |x_{i,j} - x_{\cdot,j}|$. Así,

$$u_{i,j} = \frac{\delta}{h + \delta} u(x_{i-1,j}) + \frac{h}{h + \delta} u(x_{\cdot,j}) + \mathcal{O}(h^2).$$

Si $u(x_{\cdot,j}) = 0$ (condición de Dirichlet homogénea) e ignoramos el término cuadrático, tenemos

$$u_{i,j} - \frac{\delta}{h + \delta} u_{i-1,j} = 0 \quad x_{i,j} \in \partial\Omega_h.$$

La aproximación de 9 puntos del Laplaciano

Se puede aproximar el Laplaciano con el siguiente stencil de 9 puntos:

$$\Delta_9 = \frac{1}{6h^2}(4u_{i-1,j} + 4u_{i+1,j} + 4u_{i,j-1} + 4u_{i,j+1} + u_{i-1,j-1} + u_{i-1,j+1} + u_{i+1,j-1} + u_{i+1,j+1} - 20u_{i,j})$$

Ejercicio: Muestre que:

$$\begin{aligned}\Delta_9 u(x_{i,j}) &= \Delta u(x_{i,j}) + \frac{h^2}{12} \left(\frac{\partial^4 u}{\partial x^4} + 2 \frac{\partial^2}{\partial y^2} \frac{\partial^2}{\partial x^2} u + \frac{\partial^4 u}{\partial y^4} \right) + \mathcal{O}(h^4) \\ &= \Delta u(x_{i,j}) + \frac{h^2}{12} \Delta^2 u(x_{i,j}) + \mathcal{O}(h^4)\end{aligned}$$

La aproximación de 9 puntos del Laplaciano

Este método es de orden 2, tal como el stencil de 5 puntos. Sin embargo, podemos usarlo para obtener un método de orden 4. Muestre que modificando el lado derecho con

$$f_{i,j} = f(x_{i,j}) + \frac{h^2}{12} \Delta f(x_{i,j})$$

el método es de orden 4. En el caso de que Δf no se tengan de manera exacta, estos se pueden aproximar de forma numérica.

Método de Galerkin

Método de Galerkin

Sea V un espacio de Hilbert, $B : V \times V \rightarrow \mathbb{R}$ una **forma bilineal** y $I : V \rightarrow \mathbb{R}$ un **funcional lineal y acotado**. Consideramos el problema de encontrar $u \in V$ tal que

$$B(u, v) = I(v), \quad \forall v \in V$$

El **método de Galerkin** es una manera de encontrar una solución aproximada de este problema. Utiliza un espacio de dimensión N , $V_N \subset V$ para resolver el problema

$$\text{Hallar } u_N \in V_N \text{ tal que: } B(u_N, v) = I(v), \quad \forall v \in V_N.$$

Si B es acotada y elíptica en V , entonces podemos aplicar Lax-Milgram y mostrar que el problema de dimensión finita tiene una única solución $u_N \in V_N$.

Método de Galerkin

Sistema matricial: Sea $\{\phi_i\}_{i=1}^N$ una base de V_N y sean los coeficientes $\{\xi_i\}_{i=1}^N$ tales que:

$$u_N(x) = \sum_{i=1}^N \xi_i \phi_i(x)$$

Entonces, el problema de dimensión finita es equivalente a: $A\xi = b$, con

$$A_{ij} = B(\phi_j, \phi_i), \quad b_i = l(\phi_i), \quad 1 \leq i, j \leq N$$

Energía mínima: Si B es simétrica, el problema variacional es equivalente a

$$u \in V : \quad E(u) = \inf_{v \in V} E(v); \quad E(v) = \frac{1}{2} B(v, v) - l(v)$$

y respectivamente el problema de dimensión finita

$$u_N \in V_N : \quad E(u_N) = \inf_{v \in V_N} E(v)$$

el cual se conoce como **método de Ritz**.

Ejemplo:

Considere el siguiente problema

$$\begin{cases} -u'' = f & \text{en } (0, 1) \\ u(0) = u(1) = 0 \end{cases}$$

Buscamos $u \in V := H_0^1(0, 1)$

$$\int_0^1 u' v' = \int_0^1 f v \quad \forall v \in V$$

□ Subespacio de dimensión finita $V_N = \text{span}\{x^i(1-x) : i = 1, \dots, N\} \subset V$. Tenemos

$$\begin{aligned} A_{ij} &= \int_0^1 (x^j(1-x))'(x^i(1-x))' dx \\ &= \frac{(i+1)(j+1)}{i+j+1} + \frac{(i+2)(j+2)}{i+j+3} - \frac{(i+1)(j+2) + (i+2)(j+1)}{i+j+2} \end{aligned}$$

Ejemplo:

- Subespacio de dimensión finita $V_N = \{\sin(i\pi x) : i = 1, \dots, N\} \subset V$ y ortogonales.

$$\begin{aligned} A_{ij} &= \int_0^1 (\sin(j\pi x))' (\sin(i\pi x))' dx \\ &= ij\pi^2 \int_0^1 \cos(j\pi x) \cos(i\pi x) dx \\ &= \frac{ij\pi^2}{2} \delta_{ij} \\ \rightarrow \xi_i &= \frac{2}{\pi^2 i^2} \int_0^1 f(x) \sin(i\pi x) dx, \quad 1 \leq i \leq N \end{aligned}$$

Ejemplo: Elementos finitos (Lagrange lineales)

Considere el siguiente problema:
$$\begin{cases} -u''(x) = f(x), & x \text{ en } (0, 1) \\ u(0) = u(1) = 0. \end{cases}$$

Buscamos $u \in V := H_0^1(0, 1)$:
$$\int_0^1 u'(x)v'(x)dx = \int_0^1 f(x)v(x)dx \quad \forall v \in V$$

Malla con nodos $0 = x_0 < x_1 < \dots < x_{N+1} = 1$, subintervalos $I_i = (x_i, x_{i+1})$ (elementos)

Espacio de Elementos Finitos: $V_N = \{v \in C(0, 1) : v|_K \in \mathbb{P}_1(I_i), 0 \leq i \leq N\}$

Funciones base de V_N :
$$\phi_i(x) = \begin{cases} \frac{x-x_{i-1}}{x_i-x_{i-1}}, & x \in [x_{i-1}, x_i] \\ \frac{x_{i+1}-x}{x_{i+1}-x_i}, & x \in [x_i, x_{i+1}] \\ 0, & \text{e.o.c.} \end{cases}$$

Ejemplo: Elementos finitos (Lagrange lineales)

Observe que

$$\phi'_i(x) = \begin{cases} \frac{1}{x_i - x_{i-1}}, & x \in [x_{i-1}, x_i] \\ \frac{-1}{x_{i+1} - x_i}, & x \in [x_i, x_{i+1}] \\ 0, & \text{e.o.c.} \end{cases}$$

Así, si además la malla es uniforme de tamaño h , entonces

$$A_{ij} = \int_0^1 \phi'_j(x) \phi'_i(x) dx = \begin{cases} 2/h, & \text{si } i = j \\ -1/h, & \text{si } |i - j| = 1, \\ 0, & \text{e.o.c.} \end{cases}$$

$$A = \frac{1}{h} \begin{bmatrix} 2 & -1 & 0 & \dots & 0 \\ -1 & 2 & -1 & \ddots & \vdots \\ 0 & \ddots & \ddots & \ddots & 0 \\ \vdots & \ddots & -1 & 2 & -1 \\ 0 & \dots & 0 & -1 & 2 \end{bmatrix}$$

Método de Elementos Finitos - introducción

Introducción FEM-1d

Consideremos el problema de encontrar u solución de:

$$-\frac{d}{dx} \left(p(x) \frac{d}{dx} u(x) \right) + q(x) \frac{d}{dx} u(x) + r(x) u(x) = f(x), \quad x \in (a, b),$$
$$u(a) = A, \quad u(b) = B$$

Equivalentemente, buscamos $u \in H_*^1(a, b) := \{v \in H^1(a, b) : v(a) = A, v(b) = B\}$, solución de

$$\int_a^b (p(x) u'(x) v'(x) + q(x) u'(x) v(x) + r(x) u(x) v(x)) dx = \int_a^b f(x) v(x) dx, \quad \forall v \in H_0^1(a, b)$$

de donde definimos la forma bilineal B y el funcional lineal y acotado I tales que el problema es equivalente a

$$\text{Hallar } u \in H_*^1(a, b) \text{ tal que : } B(u, v) = I(v), \quad \forall v \in H_0^1(a, b).$$

Introducción FEM-1d

Asumamos por un momento que $q(x) = 0$.

Principio de Rayleigh-Ritz: $\mathcal{J} : H_*^1(a, b) \rightarrow \mathbb{R}$ definido por:

$$\mathcal{J}(w) = \frac{1}{2} \int_a^b (p(x)(w'(x))^2 + r(x)w(x)^2) dx - \int_a^b f(x)w(x)dx = \frac{1}{2}B(w, w) - I(w)$$

Hallar $u \in H_*^1(a, b)$ tal que $\mathcal{J}(u) = \min_{w \in H_*^1(a, b)} \mathcal{J}(w)$

Principio de Galerkin: Una función $u \in H_*^1(a, b)$ minimiza \mathcal{J} en $H_*^1(a, b)$ si y sólo si:

$$B(u, v) = I(v), \quad \forall v \in H_0^1(a, b)$$

Demostración: Ejercicio.

Introducción FEM-1d

El **método de elementos finitos** se basa en construir una solución aproximada u_h al problema minimizando $\mathcal{J}(\cdot)$ sobre un espacio de dimensión finita $V_h \subset H_*^1(a, b)$ usando funciones bases con soporte en sólo algunos elementos o subdominios.

Una forma simple de construir V_h es escoger un conjunto de funciones linealmente independientes $\{\varphi_j\}, j = 1, \dots, N$, en $H_0^1(a, b)$ y definir el subespacio

$$V_h^0 = \text{span}_i \{\varphi_i\} \subset H_0^1(a, b)$$

$$V_h = \{v : v(x) = \psi(x) + \sum_{i=1}^N \xi_i \varphi_i(x), \xi_i \in \mathbb{R}\} \subset H_*^1(a, b),$$

$$\text{where } \psi(x) = \frac{B-A}{b-a}(x-a) + A$$

Introducción FEM-1d

Aproximación de Rayleigh-Ritz (método de Rayleigh-Ritz)

Hallar $u_h \in V_h$ tal que: $\mathcal{J}(u_h) = \min_{w \in V_h} \mathcal{J}(w)$

Aproximación de Galerkin (método de Galerkin)

Hallar $u_h \in V_h$ tal que: $B(u_h, v) = I(v), \quad \forall v \in V_h^0$

Teorema

Existe una única función $u_h \in V_h$ que miniza \mathcal{J} sobre V_h ; la aproximación de Ritz u_h de u . Equivalentemente, existe una única u_h aproximación de Galerkin de u . Las aproximaciones de Ritz y de Galerkin de u coinciden.

Elemento finito de Lagrange

Usamos el espacio de funciones continuas y lineales a trozos sobre una triangulación/subdivisión $a = x_0 < x_1 < x_2 < \dots < x_N < x_{N+1} = b$.

$$V_N = \{v \in C(0,1) : v|_K \in \mathbb{P}_1(I_i), 0 \leq i \leq N\}$$

Debemos calcular

$$A_{ij} = B(\phi_i, \phi_j) = \underbrace{\int_a^b p(x) \phi_j'(x) \phi_i'(x) dx}_{S_{ij}} + \underbrace{\int_a^b q(x) \phi_j'(x) \phi_i(x) dx}_{C_{ij}} + \underbrace{\int_a^b r(x) \phi_j(x) \phi_i(x) dx}_{M_{ij}}$$

Análisis de error de FEM

Lema de Céa

Lema (Desigualdad de Céa)

Suponga que u es la solución débil del problema $B(u, v) = l(v)$, para todo $v \in H_0^1(\Omega)$ y $u_h \in V_h$ es su aproximación de Galerkin, para un subespacio V_h de $H_*^1(a, b)$. Entonces se satisfacen

1 propiedad de ortogonalidad de Galerkin:

$$B(u - u_h, v) = 0, \quad \forall v \in V_h^0$$

2 propiedad de mejor aproximación

$$B(u - u_h, u - u_h) = \min_{w \in V_h} B(u - w, u - w)$$

Demostración Céa

La propiedad 1 se sigue de

$$\left. \begin{aligned} B(u_h, v) &= I(v), \quad \forall v \in V_h^0 \\ B(u, v) &= I(v), \quad \forall v \in H_0^1(a, b) \end{aligned} \right\} \implies B(u - u_h, v) = 0, \quad \forall v \in V_h^0$$

Ahora, sea $w \in V_h$, entonces

$$\begin{aligned} B(u - w, u - w) &= B(u - u_h + u_h - w, u - u_h + u_h - w) \\ &= B(u - u_h, u - u_h) + 2B(u - u_h, u_h - w) + B(u_h - w, u_h - w) \end{aligned}$$

lo que implica, asumiendo que B es simétrica y $p, r > 0$

$$B(u - u_h, u - u_h) \leq B(u - w, u - w), \quad \forall w \in V_h$$

y la igualdad se tiene para $w = u_h$.

Mejor aproximación

Definición

Norma de la energía sobre $H_0^1(a, b)$ se define por

$$\|v\|_B = \sqrt{B(v, v)}, \quad \forall v \in H_0^1(a, b).$$

Así, escribimos que u_h es la mejor aproximación de u en V_h bajo la norma de la energía, esto es

$$\|u - u_h\|_B = \min_{w \in V_h} \|u - w\|_B.$$

Interpolación - Lagrange

Definición

Operador de interpolación (interpolante) de elementos finitos

$$I_h : H_*^1(a, b) \mapsto V_h$$

$$u \mapsto I_h u(x) = \psi(x) + \sum_{i=1}^N u(x_i) \phi_i(x)$$

Observe que este satisface: $I_h u(x_j) = u(x_j), j = 0, 1, \dots, N, N + 1$.

Interpolación - Lagrange

Teorema

Suponga que $u \in H^2(a, b) \cup H_*^1(a, b)$. Entonces

$$\|u - I_h u\|_{L^2(I_i)} \leq \left(\frac{h_i}{\pi}\right)^2 \|u''\|_{L^2(I_i)}$$

$$\|u' - (I_h u)'\|_{L^2(I_i)} \leq \frac{h_i}{\pi} \|u''\|_{L^2(I_i)}$$

para $i = 0, \dots, N$, $I_i = (x_i, x_{i+1})$ y $h_i = |I_i|$.

Interpolación - Lagrange

Demostración: Sea $\xi(x) = u(x) - I_h u(x)$. Entonces, $\xi \in H^2(I_i)$ y $\xi(x_i) = \xi(x_{i+1}) = 0$.
Escribimos la serie de Fourier de ξ ,

$$\xi(x) = \sum_{k=1}^{\infty} a_k \sin\left(\frac{k\pi(x - x_i)}{h_i}\right), \quad x \in I_i$$

$$\begin{aligned} \int_{I_i} \xi(x)^2 dx &= \sum_{k,\ell=1}^{\infty} a_k a_{\ell} \int_{I_i} \sin\left(\frac{k\pi(x - x_i)}{h_i}\right) \sin\left(\frac{\ell\pi(x - x_i)}{h_i}\right) dx \\ &= h_i \sum_{k,\ell=1}^{\infty} a_k a_{\ell} \int_0^1 \sin(k\pi t) \sin(\ell\pi t) dt \\ &= \frac{h_i}{2} \sum_{k,\ell=1}^{\infty} a_k a_{\ell} \delta_{k\ell} = \frac{h_i}{2} \sum_{k=1}^{\infty} |a_k|^2 \end{aligned}$$

Interpolación - Lagrange

De la misma forma podemos probar que

$$\int_{I_i} (\xi'(x))^2 dx = \frac{h_i}{2} \sum_{k=1}^{\infty} \left(\frac{k\pi}{h_i} \right)^2 |a_k|^2$$
$$\int_{I_i} (\xi''(x))^2 dx = \frac{h_i}{2} \sum_{k=1}^{\infty} \left(\frac{k\pi}{h_i} \right)^4 |a_k|^2$$

De donde se sigue que

$$\int_{I_i} (\xi(x))^2 dx \leq \left(\frac{h_i}{\pi} \right)^4 \int_{I_i} (\xi''(x))^2 dx = \left(\frac{h_i}{\pi} \right)^4 \int_{I_i} (u''(x))^2 dx$$
$$\int_{I_i} (\xi'(x))^2 dx \leq \left(\frac{h_i}{\pi} \right)^2 \int_{I_i} (\xi''(x))^2 dx = \left(\frac{h_i}{\pi} \right)^2 \int_{I_i} (u''(x))^2 dx$$

Interpolación - Lagrange

Corolario

Suponga que $u \in H^2(a, b) \cap H_*^1(a, b)$, entonces

$$\|u - I_h u\|_B^2 \leq \sum_{i=0}^N \left(\left(\frac{h_i}{\pi} \right)^2 \max_{x \in I_i} p(x) + \left(\frac{h_i}{\pi} \right)^4 \max_{x \in I_i} r(x) \right) \|u''\|_{L^2(I_i)}^2$$

Corolario

Suponga que $u \in H^2(a, b) \cap H_*^1(a, b)$, entonces

$$\|u - u_h\|_B \leq \frac{h}{\pi} \left(\max_{x \in (a,b)} p(x) + \max_{x \in (a,b)} r(x) \right)^{1/2} \|u''\|_{L^2(a,b)}$$

donde $h = \max_{0 \leq i \leq N} h_i$.

Análisis de error a posteriori

A posteriori

Hasta ahora tenemos una cota para el error de la aproximación de elementos finitos u_h que muestra que cuando $h \rightarrow 0$ el error $\|u - u_h\|_B \rightarrow 0$ con $\mathcal{O}(h)$. Por otro lado, esto no nos ayuda a cuantificar el tamaño del error para una triangulación fija. A continuación derivaremos una cota calculable del error y mostraremos como usar esta cota para implementar un algoritmo de refinamiento de malla adaptativo, capaz de reducir el error $u - u_h$ bajo cierta tolerancia de forma automática.

Consideremos el problema de encontrar u solución de:

$$\begin{cases} -\frac{d}{dx} \left(p(x) \frac{d}{dx} u(x) \right) + q(x) \frac{d}{dx} u(x) + r(x) u(x) = f(x), & x \in (a, b), \\ u(a) = A, & u(b) = B \end{cases}$$

A posteriori

El método de elementos finitos de Galerkin busca una solución aproximada $u_h \in V_h$ tal que

$$B(u_h, v) = l(v), \quad \forall v \in V_h^0.$$

Sea $h_i = |x_{i+1} - x_i|$ y $h = \max h_i$. Derivaremos una cota de error en la norma $\|\cdot\|_L^2$ en términos de h y u_h .

Introducimos el problema *Dual* auxiliar

$$\begin{cases} -\frac{d}{dx} \left(p(x) \frac{d}{dx} z(x) \right) - q(x) \frac{d}{dx} z(x) + r(x) z(x) = (u - u_h)(x), & x \in (a, b), \\ z(a) = A, \quad z(b) = B \end{cases}$$

A posteriori

$$\begin{aligned}\|u - u_h\|_{L^2(a,b)}^2 &= \int_a^b (u - u_h)^2 dx \\&= \int_a^b (u - u_h) \left(-\frac{d}{dx} \left(p \frac{dz}{dx} \right) - q \frac{dz}{dx} + rz \right) dx \\&= \int_a^b \left(\frac{d}{dx} (u - u_h) \right) \left(p \frac{dz}{dx} + qz \right) dx + \int_a^b (u - u_h) rz dx \\&= \int_a^b p \frac{d}{dx} (u - u_h) \frac{dz}{dx} dx + \int_a^b q \frac{d}{dx} (u - u_h) z dx + \int_a^b r (u - u_h) z dx \\&= B(u - u_h, z).\end{aligned}$$

A posteriori

Además, para todo $z_h \in V_h^0$ tenemos que $B(u - u_h, z_h) = 0$. En particular para $z \in H_0^1(a, b)$, escogemos $I_h z \in V_h^0$, y así

$$\|u - u_h\|_{L^2(a,b)}^2 = B(u - u_h, z - I_h z) = \underbrace{\int_a^b f(z - I_h z) dx - B(u_h, z - I_h z)}_{\text{ya no está } u!}$$

Analizaremos cada uno de estos términos. Tenemos que:

$$\begin{aligned} B(u_h, z - I_h z) &= \sum_{i=0}^N \int_{I_i} \left(p \frac{du_h}{dx} \frac{d}{dx} (z - I_h z) + q \frac{du_h}{dx} (z - I_h z) + ru_h (z - I_h z) \right) dx \\ &= \sum_{i=0}^N \int_{I_i} \left(-\frac{d}{dx} \left(p \frac{du_h}{dx} \right) + q \frac{du_h}{dx} + ru_h \right) (z - I_h z) dx \end{aligned}$$

A posteriori

y además

$$\int_a^b f(z - I_h z) dx = \sum_{i=0}^N \int_{I_i} f(z - I_h z) dx$$

Así, deducimos que

$$\|u - u_h\|_{L^2(a,b)}^2 = \sum_{i=0}^N \int_{I_i} R(u_h)(x)(z - I_h z)(x) dx$$

$$R(u_h) = f - \left(-\frac{d}{dx} \left(p \frac{du_h}{dx} \right) + q \frac{du_h}{dx} + ru_h \right)$$

$R(u_h)$ Residual de elementos finitos. Se sigue que

$$\|u - u_h\|_{L^2(a,b)}^2 \leq \sum_{i=0}^N \|R(u_h)\|_{L^2(I_i)} \|z - I_h z\|_{L^2(I_i)}$$

A posteriori

$$\|u - u_h\|_{L^2(a,b)}^2 \leq \frac{1}{\pi^2} \sum_{i=0}^N h_i^2 \|R(u_h)\|_{L^2(I_i)} \|z''\|_{L^2(I_i)} \leq \frac{1}{\pi^2} \left(\sum_{i=0}^N h_i^4 \|R(u_h)\|_{L^2(I_i)}^2 \right)^{1/2} \|z''\|_{L^2(a,b)}$$

Lema

Suponga que z es la solución del problema Dual. Entonces existe una constante positiva K , dependiente sólo de p, q y r tal que

$$\|z''\|_{L^2(a,b)} \leq K \|u - u_h\|_{L^2(a,b)}$$

Aplicando el Lema anterior obtenemos que

$$\|u - u_h\|_{L^2(a,b)} \leq \frac{K}{\pi^2} \left(\sum_{i=0}^N h_i^4 \|R(u_h)\|_{L^2(I_i)}^2 \right)^{1/2}$$

A posteriori

Algorithm 1: Refinamiento de malla adaptativo

Input: Triangulación inicial \mathcal{T}_0 , TOL

Output: Solución u_h : $\|u - u_h\|_{L^2} < \text{TOL}$

1. $\mathcal{T}_0 : a = x_0^{(0)} < x_1^{(0)} < \dots < x_N^{(0)} < x_{N+1}^{(0)} = b$. $h^{(0)} = \max_i h_i^{(0)}$, espacio $V_h^{(0)}$.
2. Calcular solución aproximada $u_h^{(0)} \in V_h^{(0)}$.
3. Dada $u_h^{(m)}$, para $m \geq 0$, en \mathcal{T}_m , calcular $\|R(u_h)\|_{L^2}$.
Detenerse si: $\frac{K}{\pi^2} \left(\sum_{i=0}^N h_i^4 \|R(u_h)\|_{L^2(I_i)}^2 \right)^{1/2} \leq \text{TOL}$
4. Sino: Refinar elementos $I_i^{(m)} = (x_i^{(m)}, x_{i+1}^{(m)}) \in \mathcal{T}_m$, para los cuales
 $(h_i^{(m)})^4 \|R(u_h^{(m)})\|_{L^2(I_i^{(m)})}^2 > \frac{1}{N_{m+1}} \left(\frac{\text{TOL} \pi^2}{K} \right)^2$ y denotar por \mathcal{T}_{m+1} la nueva triangulación.
5. Calcular $u_h^{(m+1)} \in V_h^{(m+1)}$ y retornar al paso 3.

Ejemplo

$$(a, b) = (0, 1), \quad p = 1 \quad q = 20 \quad r = 10 \quad f = 1 \quad (A, B) = (0, 0)$$

$$u(x) = C_1 \exp(\lambda_1 x) + C_2 \exp(\lambda_2 x) + \frac{1}{10}, \quad \lambda_1 = 10 + \sqrt{110}, \quad \lambda_2 = 10 - \sqrt{110}$$



INSTITUTO DE INGENIERÍA
MATEMÁTICA Y COMPUTACIONAL
PONTIFICIA UNIVERSIDAD CATÓLICA DE CHILE